

УДК 539.3

Л. А. Фильштинский

## ОБ ОСОБЕННОСТЯХ ПОЛЯ НАПРЯЖЕНИЙ В УПРУГОЙ АНИЗОТРОПНОЙ ПОЛУПЛОСКОСТИ С ВЫХОДЯЩИМ НА ГРАНИЦУ РЕБРОМ

Задача о передаче нагрузки от тонкого ребра к упругой изотропной полуплоскости рассмотрена в [9]. Контактные задачи для анизотропной среды исследованы в работе Г. Н. Савина [5]. В [6] дано решение контактной задачи об упругой анизотропной полуплоскости, усиленной вдоль участка границы упругой накладкой. В данной работе исследуется взаимодействие анизотропной полубесконечной пластинки с упругим ребром, выходящим под углом к ее границе. В этом случае порядок особенности контактных усилий в окрестности выходящего на границу конца ребра существенно зависит от характера анизотропии и угла наклона ребра. Задача сводится к сингулярному интегро-дифференциальному уравнению, которое реализуется численно. Приводятся результаты расчетов. Выявлены некоторые особенности в распределении контактных усилий, которые могут быть использованы при проектировании сварных или усиленных ребрами конструкций.

§ 1. Рассмотрим анизотропную полубесконечную пластинку, граница которой  $y=0$  свободна от сил. Пусть вдоль произвольно ориентированного отрезка длиной  $2l$  пластинка усилена тонким ребром жесткости, к концу которого приложена сосредоточенная сила  $P$  (рис. 1).

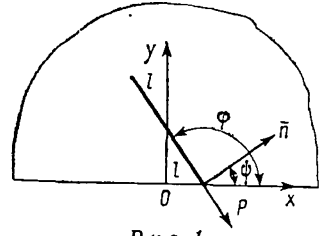


Рис. 1

Будем предполагать, что ребро непрерывно скреплено с пластиной, расположено симметрично относительно ее срединной плоскости и работает лишь на растяжение — сжатие.

Согласно [2], напряжения и смещения в пластинке выражаются через аналитические функции  $\Phi_1(z_1)$  и  $\Phi_2(z_2)$  следующим образом:

$$\begin{aligned} \sigma_y &= 2 \operatorname{Re} [\Phi_1(z_1) + \Phi_2(z_2)]; \quad z_v = x + \mu_v y; \quad \tau_{xy} = -2 \operatorname{Re} [\mu_1 \Phi_1(z_1) + \\ &+ \mu_2 \Phi_2(z_2)]; \quad \sigma_\nu = \Phi'_\nu(z_\nu); \quad \sigma_x = 2 \operatorname{Re} [\mu_1^2 \Phi_1(z_1) + \mu_2^2 \Phi_2(z_2)]; \\ \operatorname{Im} \mu_\nu > 0 \quad (\nu = 1, 2); \quad u'_x &= 2 \operatorname{Re} [p_1 \Phi_1(z_1) + p_2 \Phi_2(z_2)]; \quad v = 2 \operatorname{Re} [q_1 \Phi_1(z_1) + \\ &+ q_2 \Phi_2(z_2)]; \quad p_\nu = a_{11} \mu_\nu^2 + a_{12} - a_{16} \mu_\nu; \quad q_\nu = a_{12} \mu_\nu + \frac{a_{22}}{\mu_\nu} - a_{26}. \end{aligned} \quad (1.1)$$

Здесь  $\sigma_y$ ,  $\tau_{xy}$ ,  $\sigma_x$ ,  $u$ ,  $v$  — соответственно компоненты тензора напряжения и вектора упругого смещения;  $a_{ik}$  — коэффициенты закона Гука;  $\mu_\nu$  — характеристические числа.

Рассмотрим вспомогательную задачу о действии сосредоточенной силы  $\vec{Q} = (-Q \sin \psi, Q \cos \psi)$ , приложенной в точке  $z_0 = x_0 + iy_0$  верхней полуплоскости со свободной от сил границей  $y = 0$ .

Можно показать, что решение этой задачи таково:

$$\begin{aligned} \Phi_1^0(z_1) &= \frac{A_1}{z_1 - z_{10}} + \frac{\alpha_{11}\bar{A}_1}{z_1 - \bar{z}_{10}} + \frac{\alpha_{12}\bar{A}_2}{z_1 - z_{20}} \quad (\nu = 1, 2); \quad \Phi_2^0(z_2) = \frac{A_2}{z_2 - z_{20}} + \\ &+ \frac{\alpha_{21}\bar{A}_1}{z_2 - \bar{z}_{10}} + \frac{\alpha_{22}\bar{A}_2}{z_2 - \bar{z}_{20}}; \quad z_\nu = x + \mu_\nu y; \quad \alpha_{11} = \frac{\mu_2 - \bar{\mu}_1}{\mu_1 - \mu_2}; \quad \alpha_{21} = \frac{\bar{\mu}_1 - \mu_1}{\mu_1 - \mu_2}; \\ \alpha_{12} &= \frac{\mu_2 - \bar{\mu}_2}{\mu_1 - \mu_2}; \quad \alpha_{22} = \frac{\bar{\mu}_2 - \mu_1}{\mu_1 - \mu_2}; \quad A_\nu = -\frac{Q}{2\pi h} \delta_\nu; \quad z_{\nu 0} = x_0 + \mu_\nu y_0. \end{aligned} \quad (1.2)$$

Здесь  $h$  — толщина пластинки;  $\delta_\nu$  — решения полученной из условий однозначности смещений и статических условий системы алгебраических уравнений.

$$\begin{aligned} 2 \operatorname{Im} \sum_{\nu=1}^2 \delta_\nu \mu_\nu^{k-1} &= \Delta_k \quad (k = 0, 1, 2, 3); \quad a_{22}\Delta_0 = a_{26} \cos \psi - a_{12} \sin \psi; \\ \Delta_1 &= \cos \psi; \quad \Delta_2 = \sin \psi; \quad a_{11}\Delta_3 = a_{16} \sin \psi - a_{12} \cos \psi. \end{aligned} \quad (1.3)$$

Определитель системы (1.3) — типа Вандермонда [7] — отличен от нуля.

Используя решение (1.2) вспомогательной задачи, представляем функции  $\Phi_k(z_k)$ , описывающие поля напряжений в полуплоскости с ребром, в виде

$$\begin{aligned} \Phi_k(z_k) &= \frac{\delta_k}{2\pi h} \int_L \frac{q(t) ds}{t_k - z_k} + \sum_{m=1}^2 \frac{\alpha_{km} \bar{\delta}_m}{2\pi h} \int_L \frac{q(t) ds}{\bar{t}_m - z_k}; \\ \operatorname{Im} q(t) &= 0, \quad t_k = \operatorname{Re} t + \mu_k \operatorname{Im} t, \quad t \in L \quad (k = 1, 2). \end{aligned} \quad (1.4)$$

Здесь под  $q(t)$  понимается погонное контактное усилие, передающееся от ребра к пластине;  $ds$  — элемент дуги контура  $L$ .

Функции (1.4) удовлетворяют на границе полуплоскости  $y=0$  краевым условиям  $\sigma_y = \tau_{xy} = 0$  независимо от выбора  $q(t)$ .

Условия совместности деформаций пластинки и ребра на  $L$  имеют вид

$$\begin{aligned} \frac{N(s_0)}{E_0 F_0} &= \varepsilon(t_0); \quad N(s_0) = \int_{s_0}^l q(s) ds; \quad N(-l) = -P; \\ t_0 &= t(s_0) \in L. \end{aligned} \quad (1.5)$$

Здесь  $E_0$ ;  $F_0$ ;  $N(s)$  — соответственно модуль упругости, площадь поперечного сечения ребра и погонное усилие в нем;  $\varepsilon(t_0)$  — деформация пластины вдоль  $L$ ;  $s$ ,  $s_0$  — координаты вдоль оси ребра.

Учитывая (1.1), деформацию вдоль оси ребра представляем формулой

$$\begin{aligned} \varepsilon &= 2 \operatorname{Re} \sum_{k=1}^2 (q_k \cos \psi - p_k \sin \psi) a_k(\psi) \Phi_k(t_k); \\ a_k &= \mu_k \cos \psi - \sin \psi. \end{aligned} \quad (1.6)$$

Подставляя в (1.6) полусумму предельных значений функции (1.4) и привлекая условие совместности деформаций (1.5), приходим после преобразований к сингулярному интегро-дифференциальному уравнению относительно контактного усилия  $q(s)$

$$2 \operatorname{Re} \sum_{k=1}^2 R_k(\psi) \left\{ \delta_k \int_L \frac{q(s) dt_k}{t_k - t_{k0}} + a_k(\psi) \sum_{m=1}^2 \alpha_{km} \bar{\delta}_m \int_L \frac{q(s) ds}{t_m - t_{k0}} \right\} = \\ = \frac{2\pi h}{E_0 F_0} \int_{s_0}^l q(s) ds; \quad R_k(\psi) = q_k \cos \psi - p_k \sin \psi. \quad (1.7)$$

Если ребро не выходит на границу полуплоскости, то контактное усилие  $q(s)$  имеет корневые особенности на концах линии  $L$  и численную реализацию уравнения (1.7) можно провести, например, по схеме [1].

Рассмотрим наиболее интересный случай, когда нагруженный конец ребра выходит на границу полуплоскости. Тогда

$$t = i(l \cos \psi + s e^{i\psi}); \quad t_k = l \mu_k \cos \psi + s a_k(\psi); \\ t_0 = i(l \cos \psi + s_0 e^{i\psi}); \\ t_{k0} = l \mu_k \cos \psi + s_0 a_k(\psi); \quad t \in L \quad (1.8)$$

и уравнение (1.7) можно представить в виде

$$\int_{-1}^1 \frac{\omega(\xi) d\xi}{\xi - \xi_0} + 2 \operatorname{Re} \sum_{k,m=1}^2 b_{km} \int_{-1}^1 \frac{\omega(\xi) d\xi}{\xi - r_{km}(\xi_0)} - \lambda \int_{\xi_0}^1 \omega(\xi) d\xi = 0; \\ b_{km} = \alpha_{km} \frac{\bar{\delta}_m a_k(\psi) R_k(\psi)}{\gamma a_m(\psi)}; \quad \gamma = 2 \operatorname{Re} \sum_{k=1}^2 R_k(\psi) \delta_k; \quad \lambda = \frac{2\pi l h}{E_0 F_0 \gamma}; \\ r_{km}(\xi_0) = \frac{a_k(\psi)}{a_m(\psi)} (1 + \xi_0) - 1; \quad -1 \leq \xi_0 \leq 1; \quad l\xi = s; \quad l\xi_0 = s_0; \quad (1.9) \\ q(s) = \omega(\xi).$$

Наряду с подвижной особенностью типа Коши интегральное уравнение (1.9) содержит неподвижную особенность ( $\xi = \xi_0 = -1$ ). Уравнения подобного типа описаны, например, в [9, 4].

Для определения порядка особенности функции  $\omega(\xi)$  в точке  $\xi = -1$  положим

$$\omega(\xi) = \omega_0(\xi) (1 + \xi)^{-\beta} \quad (\operatorname{Im} \beta = 0, \quad 0 < \beta < 1). \quad (1.10)$$

Имеем, согласно [3],

$$\int_{-1}^1 \frac{\omega(\xi) d\xi}{\xi - \xi_0} = \pi (1 + \xi_0)^{-\beta} \omega_0(-1) \operatorname{ctg} \pi \beta + C_1(\xi_0); \\ \int_{-1}^1 \frac{\omega(\xi) d\xi}{\xi - r_{km}(\xi_0)} = \pi \frac{e^{i\pi\beta}}{\sin \pi\beta} \left( \frac{\overline{a_m(\psi)}}{a_k(\psi)} \right)^\beta \frac{\omega_0(-1)}{(1 + \xi_0)^\beta} + C_2(\xi_0) \quad (1.11)$$

Здесь функции  $C_i(\xi)$  могут иметь особенность в точке  $\xi_0 = -1$ , но более слабую, чем  $(1 + \xi_0)^{-\beta}$ .

Подставляя вместо интегралов, фигурирующих в (1.9), их выражения из (1.11), приходим после обычной в таких случаях процедуры к трансцендентному уравнению, определяющему величину  $\beta$

$$2 \operatorname{Re} \sum_{k,m=1}^2 \frac{b_{km}}{\cos \pi \beta} \left( -\frac{\overline{a_m(\psi)}}{a_k(\psi)} \right)^\beta = -1. \quad (1.12)$$

§ 2. Графики величины ( $\varphi$ —угол наклона стрингера к оси  $ox$ )  $\beta = \beta(\varphi)$  для текстолита с параметрами

$$E_1 = 0,96 \cdot 10^4 \text{ мн/м}^2; \quad E_2 = 0,68 \cdot 10^4 \text{ мн/м}^2; \quad G = 0,28 \cdot 10^4 \text{ мн/м}^2;$$

$\mu_1 = 1,376i$ ;  $\mu_2 = 0,628i$  (кривая 1), стеклопластика АГ—4С с параметрами  $E_1 = 2,1 \cdot 10^4 \text{ мн/м}^2$ ;  $E_2 = 1,6 \cdot 10^4 \text{ мн/м}^2$ ;

$$G = 0,42 \cdot 10^4 \text{ мн/м}^2; \quad \nu_1 = 0,09; \quad \mu_1 = 2,128i; \quad \mu_2 = 0,539i$$

(кривая 2) и фанеры с упругими модулями  $E_1 = 1,2 \cdot 10^4 \text{ мн/м}^2$ ;

$$E_2 = 0,6 \cdot 10^4 \text{ мн/м}^2; \quad G = 0,07 \cdot 10^4 \text{ мн/м}^2; \quad \nu_1 = 0,071; \quad \mu_1 = 4,11i;$$

$$\mu_2 = 0,343i$$

(кривая 3) показаны на рис. 2.

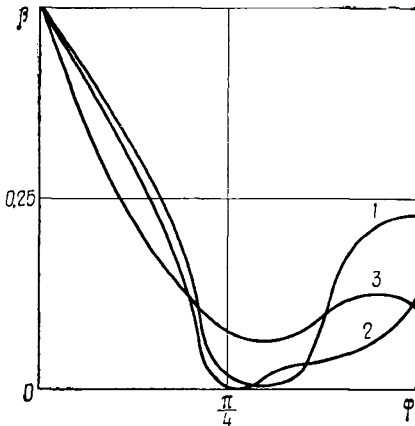


Рис. 2

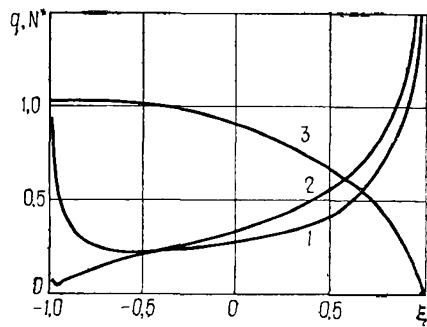


Рис. 3

На рис. 3 изображены графики распределения вдоль ребра контактных усилий  $q(s) = \omega(\xi)/P$  (кривая 1 соответствует значению  $\lambda = 0$ , кривая 2  $\sim \lambda = 0,4$ ) и усилия в ребре  $N^* = N(\xi)/Pl$  (кривая 3) для пластинки из текстолита при  $\varphi = \pi/2$ .

Расчеты показывают, что усилие в ребре слабо зависит от ориентации ребра. Контактные усилия особенно в концевых зонах существенно зависят от ориентации ребра и его относительной жесткости (параметр  $\lambda$ ). В достаточно малой окрестности любого конца контактные усилия неограниченно возрастают, однако в силу того, что порядок особенности на выходящем к границе конце ребра ниже, зона проявления этого эффекта здесь существенно меньше.

Интересное явление вскрылось при исследовании порядка особенности на выходящем к границе конце ребра (рис. 2). При угле накло-

на  $\varphi \approx \pi/4 \div \pi/3$  концентрация напряжений исчезает почти полностью. Это обстоятельство, по-видимому, можно будет использовать в вопросах рационального проектирования, например, сварных конструкций.

1. К а л а н д и я А. И. О приближенном решении одного класса сингулярных интегральных уравнений.— Докл. АН СССР, 1959, 125, № 4, с. 715—718.
2. Л е х н и ц к и й С. Г. Анизотропные пластинки.— М.: Гостехиздат, 1957.— 356 с.
3. М у с х е л и ш в и л и Н. И. Сингулярные интегральные уравнения. Граничные задачи теории функции и некоторые приложения к математической физике.— 2-е изд.— М.: Физматгиз, 1962.— 600 с.
4. П а р т о н В. З., П е р л и н П. И. Интегральные уравнения теории упругости.— М.: Наука, 1977.— 312 с.
5. С а в и н Г. М. Тиск абсолютно твердого штампу на пружне анизотропне середовище.— Доп. АН УРСР, 1939, № 6, с. 27—34.
6. С а р к и с я н В. С. Некоторые задачи математической теории упругости анизотропного тела.— Ереван: Изд-во Ереван. ун-та, 1976.— 536 с.
7. С м и р н о в В. И. Курс высшей математики.— М.; Л.: Гостехиздат, 1951.— Т. 3. Ч. 1. 336 с.
8. Ф и л ь ш т и н с к и й Л. А. Упругое равновесие плоской анизотропной среды, ослабленной произвольными криволинейными трещинами. Предельный переход к анизотропной среде.— Изв. АН СССР. Механика твердого тела, 1976, № 5, с. 91—97.
9. M u k i R., S t e r n b e r g E. On the diffusion of load from a transverse tension bar into a semi-infinite elastic sheet.— Trans. ASME. Ser. E, 1968, 35, N 4, p. 737—746.

Сумский филиал  
Харьковского политехнического института

Поступила  
3.V 1979 г.